

# TRIAC에 依해서 制御된 電力의 分析 및 그 電力量計測時의 誤差에 關한 研究

李 成 馥

A Study on the Analysis of Power Controlled by TRIAC and  
the Error of the Measurement of Its Energy

Sungbok Lee

## 〈目 次〉

- |                          |                     |
|--------------------------|---------------------|
| 1. 序論                    | 4. 誘導型積算電力計의 諸特性    |
| 2. TRIAC에 依해서 制御된 電力의 分析 | 5. 誘導型積算電力計의 誤差實驗方法 |
| 3. 誘導型積算電力計의 廻轉速度式       | 6. 實驗結果 및 檢討        |
|                          | 7. 結論               |

## Abstract

Nowadays, TRIAC is used very often for AC power control and when we measure the energy of electric power controlled by TRIAC, some measuring errors will be caused in the quantity indicated on watthour meter because of higher harmonics. So in this paper the author analized the controlled power into the various higher harmonics and induced the speed equation of watt-hour meter, investigating the characteristics of induction type watt-hour meter therewith. And the author found out that the large minus error will be caused in the measured energy of electric power of higher harmonics when the energy is measured by induction type watt-hour meter.

And the fact that considerable minus error is caused in the measured energy of power controlled by TRIAC when trigger angle  $\alpha$  is large is confirmed by the examination of induction type watt-hour meter error test. The results of error test are as follows; where  $\epsilon$  is the error when the energy of power controlled by TRIAC is measured by watt-hour meter,  $\epsilon'$  is the error when the energy of power not controlled is measured by watt-hour meter and  $\epsilon_0 = \epsilon - \epsilon'$  is the error of energy measured by watt-hour meter due to the higher harmonic power only.

| error            | $\alpha$ | $\pi/8$<br>[rad] | $2\pi/8$<br>[rad] | $3\pi/8$<br>[rad] | $4\pi/8$<br>[rad] | $5\pi/8$<br>[rad] | $6\pi/8$<br>[rad] | $7\pi/8$<br>[rad] |
|------------------|----------|------------------|-------------------|-------------------|-------------------|-------------------|-------------------|-------------------|
| $\epsilon$ [%]   | 0.15     | 0.65             | -0.10             | -0.89             | -2.91             | -6.89             | -4.76             |                   |
| $\epsilon'$ [%]  | 0.60     | 1.16             | 0.65              | 0.55              | 0.30              | -0.30             | 6.95              |                   |
| $\epsilon_0$ [%] | -0.45    | -0.51            | -0.75             | -1.44             | -3.21             | -6.59             | -11.71            |                   |

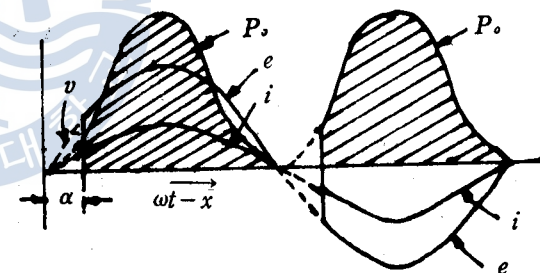
## 1. 序論

近來에 TRIAC 등이 전력 제어에 많이 사용되고 있는데 이는 전력 회로에서 전력량을 계산하는 계기로 해석하여 계측하면 제어 전력 중에 포함되어 있는 고주파 전력 때문에 계측된 전력량에 오류가 생길 것이다. 그러므로 이것을 밝히기 위하여 먼저 교류 전력을 TRIAC에 해석하여 제어할 때 그 중에 포함되어 있는 각 고주파 전력이 TRIAC의 위상 제어각에 따라서 어떻게 변화하며 또 각 고주파 전력의 전력에 대한 비율은 어느 정도로 되는지를 분석하고 다음에 유도형 계산 전력계의 회전 속도식을 유도하여 이 속도식에 해석하여 계산 전력계의 특성에 대하여 조사하였으며 특히 고주파 전력과 같이 주파수가 대단히 높을 때에는 전력량을 유도형 계산 전력계에 해석하여 계측할 때相當히 큰 오류가 생긴다는 것을 밝혔다. 그리고 계산 전력계에 해석하여 TRIAC에 의한 제어 전력을 계측할 때의 오류 실험과 또 이 실험 때의 전류와 같은 정弦波 전류가 같은 전압下에서 통하고 있을 때 계산 전력계에 의한 전력량 계측 때의 오류 실험을 함으로써 TRIAC에 의한 전력 제어를 할 때에는 그 중에 포함되어 있는 고주파로 인해서 전력량 계측 때相当한 오류가 생긴다는 것을 확인하였다.

## 2. TRIAC에 해석하여 제어된 전력의 분석



第1圖 交流電力制御回路



第2圖 制御電力波形

제1그림과 같이 저항 부하  $R$ 에 공급되는 교류 전력을 TRIAC에 해석하여 제어하고 있을 때 전원 전압을  $v = V_m \sin \omega t = \sqrt{2} V \sin x$  ..... ①

로 하고 TRIAC의 위상 제어각을  $\alpha$ 로 하면 출력 전압  $e = f(x)$ 는 제2그림과 같이 x축에 대해서 상하가 대칭으로 되므로  $e = f(x)$ 를 Fourier 급수에 해석하여 展開하면 奇数 고주파만을 포함하게 된다.

$$\text{即 } e = \sum_{n=1}^{\infty} (a_n \cos nx + b_n \sin nx) = \sum_{n=1}^{\infty} A_n \sin(nx + \phi_n) \quad \text{..... ②}$$

但,  $n$ 은 奇数이고

$$\left. \begin{aligned} a_n &= \frac{2}{\pi} \int_0^\pi e \cos nx dx = \frac{2\sqrt{2}}{\pi} V \int_\alpha^\pi \sin x \cos nx dx \\ b_n &= \frac{2}{\pi} \int_0^\pi e \sin nx dx = \frac{2\sqrt{2}}{\pi} V \int_\alpha^\pi \sin x \sin nx dx \\ A_n &= \sqrt{a_n^2 + b_n^2}, \quad \phi_n = \tan^{-1} \frac{a_n}{b_n} \end{aligned} \right\} \quad \text{..... ③}$$

負荷電流  $i$  및 消費電力  $P_o$  는

$$i = \frac{e}{R} = \sum_{n=1}^{\infty} \frac{A_n}{R} \sin(nx + \phi_n) \quad \dots \dots \dots \text{④}$$

$$P_o = ei \quad \dots \dots \dots \text{⑤}$$

로 되고 그 波形은 第 2 圖와 같이 되며 消費電力의 平均值  $P_o$  는 다음과 같이 된다.

$$P_o = \frac{1}{\pi} \int_0^\pi e i dx = \frac{2}{\pi} \int_0^\pi \frac{V^2}{R} \sin^2 x dx = \frac{V^2}{R} \left( 1 - \frac{\alpha}{\pi} + \frac{\sin 2\alpha}{2\pi} \right) \quad \dots \dots \dots \text{⑥}$$

이 때 出力電壓  $e$  的 實効值  $E$  與電源側에서 볼 때의 等價力率  $\cos \phi$  는 다음과 같이 된다.

$$E = \sqrt{\frac{1}{\pi} \int_0^\pi (\sqrt{2} V \sin x) dx} = V \sqrt{1 - \frac{\alpha}{\pi} + \frac{\sin 2\alpha}{2\pi}}$$

$$\cos \phi = \sqrt{1 - \frac{\alpha}{\pi} + \frac{\sin 2\alpha}{2\pi}}$$

位相制御角  $\alpha$ 에 對한 等價力率은 第 1 表과 같이 된다.

第 1 表 位相制御角  $\alpha$ 에 對한 等價力率

| $\alpha[\text{rad}]$ | 0   | $\pi/8$ | $2\pi/8$ | $3\pi/8$ | $4\pi/8$ | $5\pi/8$ | $6\pi/8$ | $7\pi/8$ | $\pi$ |
|----------------------|-----|---------|----------|----------|----------|----------|----------|----------|-------|
| $\cos \phi [\%]$     | 100 | 99.4    | 95.3     | 85.9     | 70.7     | 51.2     | 30.1     | 11.2     | 0     |

出力電壓  $e$  中에 包含되어 있는 第  $n$  高調波電壓  $e_n$  및 負荷電流  $i$  中에 包含되어 있는 第  $n$  高調波電流  $i_n$  은 ②, ④式에 依해서 다음과 같이 된다.

$$e_n = A_n \sin(nx + \phi_n)$$

$$i_n = \frac{A_n}{R} \sin(nx + \phi_n)$$

故로 負荷電力中에 包含되어 있는 第  $n$  高調波電力의 平均值  $P_n$  은 다음과 같이 된다.

$$P_n = \frac{A_n}{\sqrt{2}} \cdot \frac{A_n}{\sqrt{2}R} = \frac{A_n^2}{2R} = \frac{1}{2R} (a_n^2 + b_n^2) \quad \dots \dots \dots \text{⑦}$$

③式에 依해서  $a_n, b_n$  을 計算하여 ⑦式에 代入하면 各高調波電力を 求할 수 있다.

③式에 있어서  $n=1$  일 때에는

$$a_1 = \frac{\sqrt{2}}{2\pi} V (\cos 2\alpha - 1)$$

$$b_1 = \frac{\sqrt{2}}{2\pi} V (2\pi - 2\alpha + \sin 2\alpha)$$

$n \geq 3$  以上의 奇數일 때에는

$$a_n = \frac{\sqrt{2}}{\pi} V \left\{ \frac{2}{(n-1)(n+1)} - \frac{1}{n-1} \cos(n-1)\alpha + \frac{1}{n+1} \cos(n+1)\alpha \right\} \quad \dots \dots \dots \text{⑧}$$

$$b_n = \frac{\sqrt{2}}{\pi} V \left\{ \frac{1}{n+1} \sin(n+1)\alpha - \frac{1}{n-1} \sin(n-1)\alpha \right\} \quad \dots \dots \dots \text{⑨}$$

以上과 같이 求한 係數  $a_n, b_n$  을 高調波別로 計算하여 ⑦式에 代入하고 便宜上  $V=100[\text{V}]$ ,  $R=100$

[Ω]으로 하면 全電力  $P_0$  및 各高調波電力  $P_1, P_3, P_5, \dots$ 은 다음과 같이 된다.

$$P_0 = 100 \left( 1 - \frac{\alpha}{\pi} + \frac{\sin 2\alpha}{2\pi} \right)$$

$$P_1 = \frac{100}{4\pi^2} \left\{ (\cos 2\alpha - 1)^2 + (2\pi - 2\alpha + \sin 2\alpha)^2 \right\}$$

$$P_3 = \frac{100}{8\pi^2} (3 - 4 \cos 2\alpha + \cos 4\alpha)$$

$$P_5 = \frac{100}{72\pi^2} (7 - 6 \cos 2\alpha - 3 \cos 4\alpha + 2 \cos 6\alpha)$$

$$P_7 = \frac{100}{288\pi^2} (13 - 12 \cos 2\alpha - 4 \cos 6\alpha + 3 \cos 8\alpha)$$

$$P_9 = \frac{1}{8\pi^2} (21 - 20 \cos 2\alpha - 5 \cos 8\alpha + 4 \cos 10\alpha)$$

$$P_{11} = \frac{1}{18\pi^2} (31 - 30 \cos 2\alpha - 6 \cos 10\alpha + 5 \cos 12\alpha)$$

$$P_{13} = \frac{100}{3528\pi^2} (43 - 42 \cos 2\alpha - 7 \cos 12\alpha + 6 \cos 14\alpha)$$

各高調波電力의 全電力에 對한 百分率을 各各

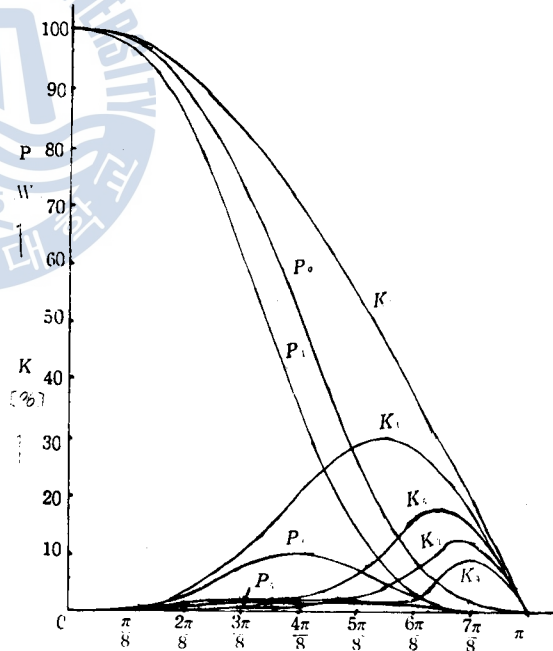
$$K_1 = \frac{P_1}{P_0} \times 100 [\%]$$

$$K_3 = \frac{P_3}{P_0} \times 100 [\%]$$

$$K_5 = \frac{P_5}{P_0} \times 100 [\%]$$

$$K_{13} = \frac{P_{13}}{P_0} \times 100 [\%]$$

로 하면 TRIAC의 位相制御角  $\alpha$ 가  $0, \pi/8, 2\pi/8, \dots, \pi$  [rad]의 값을 取할 때 全電力과 各高調波電力 및 이 高調波電力의 全電力에 對한 百分率은 第 2表와 같이 되고 이것을 圖表로 그리면 第 3圖와 같이 된다.



第 3 圖 位相制御角에 對한 各高調波電力의 分布狀態

第 2 表 位相제어각에 대한 각 고주파 전력의 분포

| $P_n, K_n$ | $\alpha$ | 0     | $\pi/8$ | $2\pi/8$ | $3\pi/8$ | $4\pi/8$ | $5\pi/8$ | $6\pi/8$ | $7\pi/8$ |  |
|------------|----------|-------|---------|----------|----------|----------|----------|----------|----------|--|
| $P_0$      | 100      | 98.8  | 90.9    | 73.8     | 50.0     | 26.2     | 9.08     | 1.25     | 0        |  |
| $P_1$      | 100      | 97.7  | 85.2    | 61.8     | 35.1     | 14.3     | 3.36     | 0.233    | 0        |  |
| $P_2$      | 0        | 0.217 | 2.53    | 7.38     | 10.13    | 7.38     | 2.53     | 0.217    | 0        |  |
| $P_3$      | 0        | 0.189 | 1.41    | 1.78     | 1.13     | 1.78     | 1.41     | 0.189    | 0        |  |
| $P_4$      | 0        | 0.153 | 0.563   | 0.551    | 1.13     | 0.551    | 0.563    | 0.153    | 0        |  |
| $P_5$      | 0        | 0.114 | 0.203   | 0.544    | 0.405    | 0.544    | 0.203    | 0.114    | 0        |  |
| $P_{11}$   | 0        | 0.079 | 0.146   | 0.270    | 0.405    | 0.270    | 0.146    | 0.079    | 0        |  |
| $P_{12}$   | 0        | 0.050 | 0.144   | 0.197    | 0.207    | 0.197    | 0.144    | 0.050    | 0        |  |
| $K_1$      | 100      | 98.89 | 93.73   | 83.74    | 70.20    | 54.58    | 37.00    | 18.64    | 0        |  |
| $K_2$      | 0        | 0.220 | 2.78    | 10.00    | 20.26    | 28.17    | 27.86    | 17.36    | 0        |  |
| $K_3$      | 0        | 0.191 | 1.55    | 2.41     | 2.26     | 6.79     | 15.53    | 15.12    | 0        |  |
| $K_4$      | 0        | 0.155 | 0.619   | 0.747    | 2.26     | 2.10     | 6.20     | 12.24    | 0        |  |
| $K_5$      | 0        | 0.115 | 0.223   | 0.737    | 0.810    | 2.08     | 2.24     | 9.12     | 0        |  |
| $K_{11}$   | 0        | 0.080 | 0.161   | 0.366    | 0.810    | 1.03     | 1.61     | 6.32     | 0        |  |
| $K_{12}$   | 0        | 0.051 | 0.158   | 0.267    | 0.414    | 0.752    | 1.59     | 4.03     | 0        |  |

## 3. 誘導型積算전력계의 회전속도식

誘導型積算전력계의 회전판에 작용하는 드릴력  $T_d$ 는 다음 式으로 表示된다.

$$T_d = K_1 \frac{\omega \Phi_p \Phi_c}{Z_d} \sin \theta \cos \alpha$$

但,  $K_1$  : 比例常數

$\omega$  : 角周波數

$\Phi_p$  : 電壓線輪에 依한 磁束

$\Phi_c$  : 電流線輪에 依한 磁束

$Z_d$  : 회전판 내의 涡流回路의 等價임피이던스

$\theta$  :  $\Phi_p$  와  $\Phi_c$  와의 相差角

$\alpha$  : 회전판 내의 涡流回路의 等價力率角

誘導型積算전력계의 회전판에 작용하는 제어회전력  $T_c$ 는 다음 式으로 表示된다.

$$T_c = K_2 n (\Phi_m^2 + \Phi_p^2 + 2\Phi_c^2)$$

但,  $K_2$  : 比例常數

$n$  : 회전판의 회전速度

$\Phi_m$  : 制御用永久磁石에 依한 磁束

積算電力計의 廻轉圓板은  $T_d$  와  $T_c$  가 平衡되는 速度로 廻轉하므로 그 廻轉速度  $n$  은 다음과 같이 된다.

$$n = \frac{K_1 \frac{\omega \Phi_p \Phi_c}{Z_d} \sin \theta \cos \alpha}{K_2 (\Phi_m^2 + \Phi_p^2 + 2\Phi_c^2)} \quad \text{.....(10)}$$

그런데  $\Phi_p$  는 第 4 圖와 같이 電壓線輪의 電流  $I_p$  에 依한 磁束  $\Phi_p'$  와 位相調整用 短絡線輪에 依한 磁束  $\Phi_s$  와의 ベ터合으로서 供給電壓의 周波數  $f$  가 60[Hz] 時에  $\Phi_p$  가 供給電壓  $V$  보다 位相이 90° 뒤지도록 調整되어 있는데 이 位相調整이 過했거나 또는  $f$  가 60[Hz]보다 커졌을 때에는  $\Phi_p$  와  $V$  的 角이 90°보다 커지므로 그 增加分을  $\delta$  로 하면 負荷力率角이  $\phi$  일 때  $\theta$  및  $\sin \theta$  는 다음과 같이 된다.

$$\theta = 90 - (\phi - \delta)$$

$$\sin \theta = \cos(\phi - \delta) = \cos \phi \cos \delta (1 + \tan \phi \tan \delta)$$

그리고  $\Phi_p$  는 供給電壓  $V$ 에 比例하고 電壓線輪의 임피이던스  $Z_p = \sqrt{R_p^2 + X_p^2}$ 에 反比例하며  $\Phi_c$  는 負荷電流  $I$ 에 比例하므로  $\Phi_p \Phi_c = K_3 VI / Z_p$  로 된다. 但,  $R_p$  와  $X_p$  는 각각 電壓線輪의 抵抗과 리액턴스를 表示한다. 그리고 廻轉圓板의 漏流回路의 等價抵抗 및 等價리액턴스를 각각  $R_d, X_d$  로 하면

$$\cos \alpha = \frac{R_d}{Z_d} = \frac{R_d}{\sqrt{R_d^2 + X_d^2}}$$

로 되므로 式 ⑩은 다음과 같이 된다.

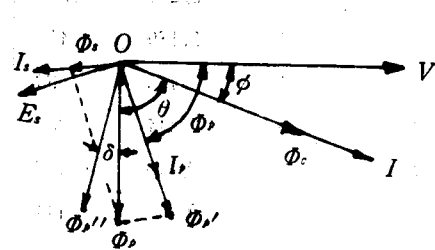
$$\begin{aligned} n &= \frac{K_1 K_3 R_d}{K_2 (\Phi_m^2 + \Phi_p^2 + 2\Phi_c^2)} \cdot \frac{\omega \cos \delta (1 + \tan \phi \tan \delta)}{Z_p Z_d^2} VI \cos \phi \\ &= \frac{K_1 K_3 R_d}{K_2 (\Phi_m^2 + \Phi_p^2 + 2\Phi_c^2)} \cdot \frac{\cos \delta (1 + \tan \phi \tan \delta)}{\sqrt{R_p^2 + (2\pi f L_p)^2} \left( \frac{R_d^2}{2\pi f} + 2\pi f L_d^2 \right)} VI \cos \phi \\ &= K_0 VI \cos \phi \quad \text{.....(11)} \end{aligned}$$

$$\text{但, } K_0 = \frac{K_1 K_3 R_d}{K_2 (\Phi_m^2 + \Phi_p^2 + 2\Phi_c^2)} \cdot \frac{\cos \delta (1 + \tan \phi \tan \delta)}{\sqrt{R_p^2 + (2\pi f L_p)^2} \left( \frac{R_d^2}{2\pi f} + 2\pi f L_d^2 \right)} \quad \text{.....(12)}$$

## 4. 誘導型積算電力計의 諸特性

式 ⑪에 있어서  $K_0$  가 一定이면 積算電力計의 廻轉圓板의 廻轉速度는 負荷電力  $VI \cos \phi$ 에 比例하게 되므로 어느 期間中의 廻轉圓板의 廻轉數에 依해서 그 期間中의 消費電力量을 正確하게 알 수 있다. 그런데  $K_0$  는 負荷電流, 電壓, 負荷力率, 周波數 等에 依해서多少 變化하게 되므로 積算電力計는 若干의 誤差가 생길 것이며 그 特性에 對해서는 ⑫式에 依해서 檢討할 수 있다.

(1) 負荷特性: 負荷電流가 增加하면  $\Phi_p$  가 커지므로  $K_0$  는 작아진다. 但, 全負荷時의 誤差를

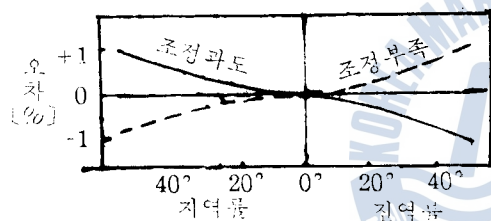


第 4 圖 積算電力計의 Phasor 圖

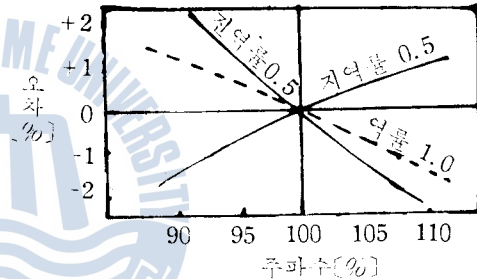
零으로 하면 過負荷狀態에 있어서는 負誤差가 생기고 全負荷보다 작은 負荷에 있어서는 正誤差가 생긴다. 그리고 積算電力計의 廢轉軸과 베어링部分에는 摩擦力이 생기는데 輕負荷時에는 驅動廻轉力이 작아서 摩擦力이 크게 作用하게 되므로 負誤差가 생긴다.

(2) 電壓特性：電壓이 커지면  $\phi$ 가 커지므로  $K_o$ 는 작아진다. 따라서 定格電壓일 때의 誤差를 零으로 하면 電壓이 높을 때 負誤差가 생기고 電壓이 낮을 때 正誤差가 생기게 된다.

(3) 力率特性：位相調整이 過했을 때에는  $\delta$ 가 (+), 位相調整이 不足했을 때에는  $\delta$ 가 (-)로 되고 遲力率일 때에는  $\phi$ 가 (+), 進力率일 때에는  $\phi$ 가 (-)로 된다. 그러므로 力率이 100[%]일 때의 誤差를 零으로 하면 位相調整이 過했을 때 ( $\delta > 0$ )에는 遲力率( $\phi > 0$ )로서 力率이 낮아질수록 ( $\phi$ 는 커짐)  $K_o$ 는 커지므로 積算電力計는 正誤差가 생기고 進力率( $\phi < 0$ )로 力率이 낮아질수록  $K_o$ 는 작아지므로 積算電力計는 負誤差가 생긴다. 位相調整이 不足했을 때 ( $\delta < 0$ )에는 遲力率( $\phi > 0$ )로서 力率이 낮아질수록  $K_o$ 는 작아지므로 積算電力計는 負誤差가 생기고 進力率( $\phi < 0$ )로 力率이 낮아질수록  $K_o$ 는 커지므로 積算電力計는 正誤差가 생긴다. 따라서 力率特性은 第5圖와 같이 된다.



第5圖 負荷力率에 對한 特性



第6圖 周波數特性

(4) 周波數特性：②式에 있어서  $K_o$ 의 分母는 定格周波數附近에 있어서  $f$ 가 커질수록 커진다고 볼 수 있다. 그리고  $\delta$ 도  $f$ 에 따라서 變化하므로  $K_o$ 의 分子도  $f$ 에 따라서 變化하는데 그 變化狀態는 負荷力率에 따라서 다르게 된다는 것을 알 수 있다. 即 力率이 1.0일 때에는  $\phi = 0$ , 따라서  $\tan \phi = 0$ 으로 되므로  $K_o$ 의 分子는  $f$ 가 定格值보다 커질 때 작아지므로 負誤差가 생기고  $f$ 가 定格值보다 작아질 때에는 分子도 작아지지만 分母가 작아지는 率이甚하므로  $K_o$ 는 커지고 正誤差가 생기게 된다. 遲力率 0.5일 때 ( $\phi > 0$ )에는  $f$ 가 定格值보다 커질 때 ( $\delta > 0$ ) 分子가 分母보다 더 커지기 때문에 正誤差가 생기고  $f$ 가 定格值보다 작아지면 ( $\delta < 0$ ) 分子는 작아지는데 그 程度가 分母의 작아지는 程度보다도 甚하므로 負誤差가 생긴다. 進力率 0.5일 때 ( $\phi < 0$ )에는  $f$ 가 定格值보다 커질 때 ( $\delta > 0$ )  $K_o$ 의 分子는 작아지므로 負誤差가 생기고  $f$ 가 定格值보다 작아질 때 ( $\delta < 0$ ) 分子는 커지므로 正誤差가 생긴다. 그러므로 定格周波數前後에 있어서의 周波數特性은 第6圖와 같이 된다.

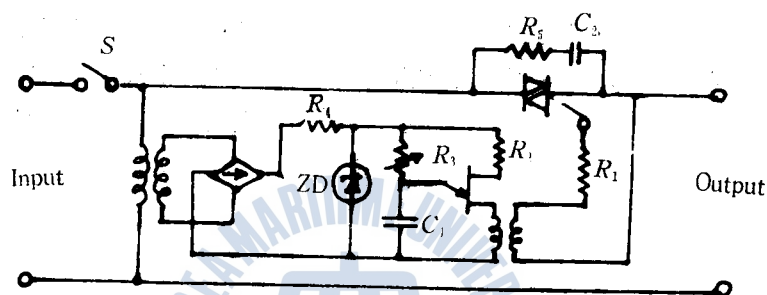
以上 記述한 바와 같이 積算電力計는 負荷電流, 電壓, 負荷力率, 周波數 等에 依해서 若干의 誤差가 생기나 이 誤差는 重負荷補償裝置, 輕負荷補償裝置, 電壓特性補償裝置 等을 함으로서 大端히 각계 되므로 普通의 使用狀態에 있어서는 別支障이 없으나 TRIAC等에 依해서 電力制御할 때에는 많은 高調波가 包含되므로 그와 같이 周波數가 높은 高調波電力이 包含되어 있는 電力量을 積算電力計에 依해서 計測할 때에는 周波數  $f$ 가 大端히 크게 되므로 ②式에서 檢討해 보면 負荷力率에 關

係 없이相當한 負誤差가 생길 것이다. 그러므로 이와 같은 電力量을 計測할 때 어느 程度의 誤差가 생길 것인지를 다음에 實驗에 依해서 求하여 보기로 한다.

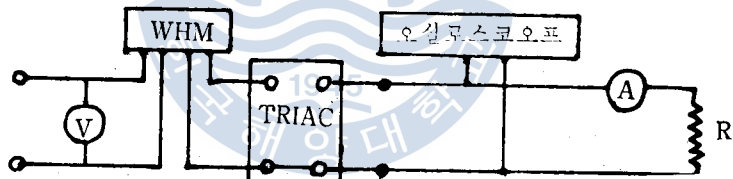
## 5. 誘導型積算電力計의 誤差實驗方法

### 5-1 實驗 1. TRIAC에 依해서 制御된 電力量計測時의 積算電力計誤差測定

本實驗에서 使用한 被試驗用積算電力計는 大韓電線株式會社製인 普通電力計 1-18E型 30(10)[A], 110[V], 60[Hz], 1000[Rev/KWH], 交流單相二線式이고 本實驗에서 使用한 TRIAC 電力制御裝置의 內部回路는 第 7 圖와 같다.



第 7 圖 TRIAC 電力制御裝置의 結線圖



第 8 圖 制御電力量計測時의 積算電力計誤差試驗

本實驗을 하기 為해서 誘導型積算電力計, TRIAC 電力制御裝置 等을 第 8 圖와 같이 連結하고 電源電壓이 100[V] 時에 TRIAC 的 位相制御角  $\alpha$  를  $\pi/8, 2\pi/8, 3\pi/8, 4\pi/8, 5\pi/8, 6\pi/8, 7\pi/8[\text{rad}]$  으로 調整하면서 各境遇에 있어서의 電力供給時間  $T[\text{sec}]$ , 積算電力計의 回轉數  $N$  을 計測하여 消費電力量  $W[\text{WH}]$ , 積算電力計의 指示電力量  $W_o[\text{WH}]$ , 積算電力計의 誤差  $\epsilon[\%]$  를 다음 式에 依해서 求했다.

$$W = \frac{PT}{3600} [\text{WH}], \quad W_o = N [\text{WH}], \quad \epsilon = \frac{W_o - W}{W} \times 100 [\%]$$

TRIAC 的 位相制御角은 오실로스코오프에 依해서 確認하였고 消費電力  $P[\text{W}]$  는 負荷抵抗에서 消費되는 負荷電力  $P_o$  와 TRIAC에서 생기는 損失電力  $P_l$  과의 合으로 될 것인데 이 電力의 測定은 다음과 같이 하였다.

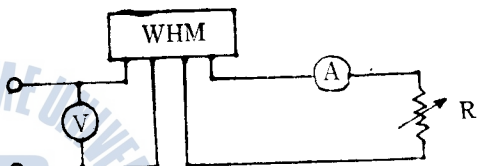
負荷電力  $P_o[\text{W}]$  를 測定하는 데는 電力計를 使用하지 않고 負荷電流  $I$  와 負荷抵抗  $R$  을 正確하게 測定하여  $P_o = I^2 R$  에 依해서 計算하였다. 負荷抵抗  $R$  은 實驗中 주울熱 때문에 抵抗值가 溫度에 따라

서若干變化하게 되므로 TRIAC의 位相制御角  $\alpha$ 를 變化시켜서 實驗社 때마다 휴이트스톤브리지에 依해서正確하게 測定하였다.

TRIAC에서 생기는 電力損失  $P_t$ 은 位相制御角  $\alpha$ 와 負荷電流  $I$ 에 따라서 다르게 될 것이므로 TRIAC 電力制御裝置의 앞과 뒤에 電力計를 連結하고 電源電壓  $V$ , 位相制御角  $\alpha$  및 負荷電流  $I$ 를 앞에서 記述한 積算電力計의 誤差試驗(第8圖)時와 똑같게 해놓고 두 電力計의 指示電力  $P_1, P_2$ 를 測定하면 그 差  $P_1 - P_2$ 가 그 때의 TRIAC 電力損失  $P_t$ 로 된다. TRIAC의 位相制御角  $\alpha$ 를  $\pi/8, 2\pi/8, 3\pi/8, 4\pi/8, 5\pi/8, 6\pi/8, 7\pi/8[\text{rad}]$ 으로 調整해 놓고 각境遇에 있어서의 TRIAC 電力損失  $P_t$ 을 測定하였다.

### 5-2 實驗 2. 正弦波電力量計測時의 積算電力計誤差測定

正弦波電力量計測時의 積算電力計誤差를 求하기 為하여 積算電力計, 負荷抵抗等을 第9圖와 같이 結線하고 電源電壓은 100[V]로 維持한다. 그리고 負荷抵抗  $R$ 을 調整하여 負荷電流을 實驗 1의 境遇와 같은 值으로 해놓고 電力供給時間  $T[\text{sec}]$ 와 積算電力計迴轉圓板의 回轉數  $N$  및 負荷抵抗  $R$ 를 測定하여 實驗 1의 境遇와 같은 要領에 依하여 實驗 1에서 다룬 7 가지의 負荷電流에 對한 積算電力計의 誤差  $\epsilon$ 를 求하였다.



第9圖 正弦波電力量計測時의 誤差試驗

### 6. 實驗結果 및 檢討

實驗 1, 2에 있어서의 各測定值 및 이 测定值를 利用하여 計算한 各量은 第3表 및 第4表와 같다. 實驗 2에 있어서의 負荷電流은 實驗 1에 있어서의 負荷電流와 같게 하려고 한 것인데 負荷抵抗의 調整이 細密하게 할 수 없어서若干의 差異가 생겼으나 實驗結果에는 別로 影響이 없으리라고 본다.

第3表 實驗 1의 测定值 및 計算值

| 位相制御角<br>$\alpha[\text{rad}]$ | 電源電壓<br>$V[\text{V}]$ | 負荷電流<br>$I[\text{A}]$ | 負荷抵抗<br>$R[\Omega]$ | 負荷電力<br>$P_o[\text{W}]$ | TRIAC<br>損失電力<br>$P_t[\text{W}]$ | 全電力<br>$P[\text{W}]$ | 時<br>間<br>$T[\text{sec}]$ | 消<br>費<br>電<br>力<br>量<br>$W[\text{WH}]$ | 回轉數<br>$N[\text{Rev}]$ | WHM<br>計測量<br>$W_o[\text{WH}]$ | WHM<br>誤<br>差<br>$\epsilon[\%]$ |
|-------------------------------|-----------------------|-----------------------|---------------------|-------------------------|----------------------------------|----------------------|---------------------------|---|------------------------|--------------------------------|---------------------------------|
| $\pi/8$                       | 100                   | 9.55                  | 10.15               | 926                     | 20                               | 946                  | 76.0                      | 19.97                                   | 20                     | 20                             | 0.15                            |
| $2\pi/8$                      | 100                   | 9.12                  | 10.16               | 845                     | 20                               | 865                  | 82.7                      | 19.87                                   | 20                     | 20                             | 0.65                            |
| $3\pi/8$                      | 100                   | 8.20                  | 10.16               | 683                     | 20                               | 703                  | 102.5                     | 20.02                                   | 20                     | 20                             | -0.10                           |
| $4\pi/8$                      | 100                   | 6.70                  | 10.16               | 456                     | 17                               | 473                  | 153.6                     | 20.18                                   | 20                     | 20                             | -0.89                           |
| $5\pi/8$                      | 100                   | 4.70                  | 10.15               | 224                     | 12                               | 236                  | 157.1                     | 10.30                                   | 10                     | 10                             | -2.91                           |
| $6\pi/8$                      | 100                   | 2.79                  | 10.14               | 78.9                    | 10                               | 88.9                 | 217.5                     | 5.37                                    | 5                      | 5                              | -6.89                           |
| $7\pi/8$                      | 100                   | 1.44                  | 10.14               | 21.0                    | 5                                | 26.0                 | 145.6                     | 1.05                                    | 1                      | 1                              | -4.76                           |

第4表 實驗 2의 測定值 및 計算值

| 電源電壓<br>$V[V]$ | 負荷電流<br>$I[A]$ | 負荷抵抗<br>$R[Ω]$ | 負荷電力<br>$P_o[W]$ | 時間<br>$T[sec]$ | 消費電力量<br>$W[WH]$ | 迴轉數<br>$N[Rev]$ | WHM<br>計測量<br>$W_o[WH]$ | WHM<br>誤差<br>$\epsilon'[%]$ |
|----------------|----------------|----------------|------------------|----------------|------------------|-----------------|-------------------------|-----------------------------|
| 100            | 9.52           | 10.36          | 939              | 76.2           | 19.88            | 20              | 20                      | 0.60                        |
| 100            | 9.05           | 10.92          | 894              | 79.6           | 19.77            | 20              | 20                      | 1.16                        |
| 100            | 8.10           | 12.24          | 803              | 89.1           | 19.87            | 20              | 20                      | 0.65                        |
| 100            | 6.65           | 14.92          | 660              | 108.5          | 19.89            | 20              | 20                      | 0.55                        |
| 100            | 4.70           | 21.18          | 468              | 76.7           | 9.97             | 10              | 10                      | 0.30                        |
| 100            | 2.74           | 36.50          | 274              | 131.8          | 10.03            | 10              | 10                      | -0.30                       |
| 100            | 1.45           | 66.54          | 140              | 96.2           | 3.74             | 4               | 4                       | 6.95                        |

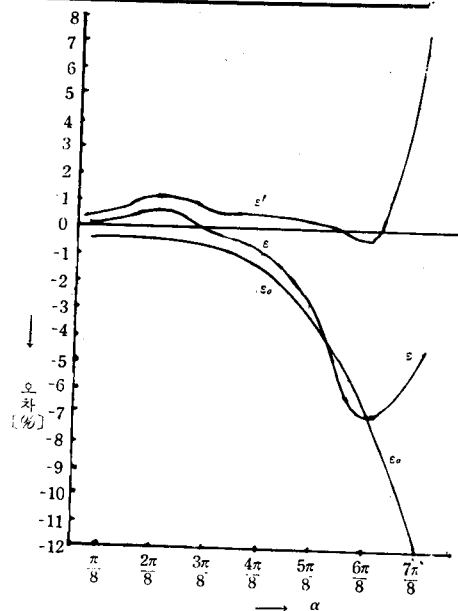
高調波電力量으로 因해서 생기는 積算電力計의 誤差는 第3表에 있어서의 誤差  $\epsilon$ 에서 第4表에 있어서의  $\epsilon'$ 를 뺀 것으로 될 것이다. 故로  $\epsilon_o = \epsilon - \epsilon'$  를 TRIAC의 位相制御角別로 求해 보면 第5表와 같이 된다.

第5表 高調波電力 嘴문에 생기는 積算電力計의 誤差

| オチ<br>$\alpha$  | $\pi/8$<br>[rad] | $2\pi/8$<br>[rad] | $3\pi/8$<br>[rad] | $4\pi/8$<br>[rad] | $5\pi/8$<br>[rad] | $6\pi/8$<br>[rad] | $7\pi/8$<br>[rad] |
|-----------------|------------------|-------------------|-------------------|-------------------|-------------------|-------------------|-------------------|
| $\epsilon[%]$   | 0.15             | 0.65              | -0.10             | -0.89             | -2.91             | -6.89             | -4.76             |
| $\epsilon'[%]$  | 0.60             | 1.16              | 0.65              | 0.55              | 0.30              | -0.30             | 6.95              |
| $\epsilon_o[%]$ | -0.45            | -0.51             | -0.75             | -1.44             | -3.21             | -6.59             | -11.71            |

第5表에 있어서  $\epsilon'$ 는 正弦波電力量計測時의 誤差  $\epsilon$ 가 嘴문에 位相制御角  $\alpha$ 와는 關係가 없으나 第5表는 다음과 같은 意義를 갖고 있다. 即  $\alpha = \pi/8[\text{rad}]$  일 때  $\epsilon = 0.15\%$ ,  $\epsilon' = 0.60\%$ ,  $\epsilon_o = -0.45\%$ 라는 것은 制御電力量計測時 位相制御角  $\alpha = \pi/8[\text{rad}]$  일 때 積算電力計의 誤差가  $0.15\%$ 인데 이 때의 負荷電流  $I = 9.55[A]$  와 等價인 正弦波電流가 通하고 있을 때에는 積算電力計의 誤差가  $0.60\%$ 로 되어  $\epsilon_o = \epsilon - \epsilon' = 0.15 - 0.69 = -0.45\%$ 의 差異가 생긴다는 것 다시 말하면 TAIAC에 依한 制御電力量計測時에는  $\alpha = \pi/8[\text{rad}]$  일 때 高調波成分 嘴문에 正弦波電力量計測時보다  $0.45\%$ 가 낮게 計測된다는 것을 意味한다.

第5表를 圖表로 그리면 第10圖와 같이 되는데 第10圖에 있어서 曲線  $\epsilon'$ 와  $\epsilon$ 은  $\alpha > 6\pi/8[\text{rad}]$  일 때 갑자기 上



第10圖 積算電力計의 誤差曲線

昇하여  $\alpha = 7\pi/8[\text{rad}]$  일 때  $\epsilon' = 6.95[\%]$ 로 大端히 큰 值을 取하게 되는데 그 理由는 輕負荷時에 있어서의 回轉部摩擦에 對한 補償이 너무 過했기 때문이라고 본다.

## 7. 結論

(1) 正弦波電力量計測時 大略 1[%]內外의 正誤差가 생기는 積算電力計를 使用해서 TRIAC에 依한 制御電力量을 計測할 때 생기는 積算電力計의 誤差는 位相制御角  $\alpha$  가  $3\pi/8[\text{rad}]$  以下일 때에는 (+)로서 그 絶對값은 0.65[%] 以下로 되는데  $\alpha$  가  $3\pi/8[\text{rad}]$  보다 커지면 積算電力計의 誤差는 (-)로 되어 그 絶對값은 徐徐히 增加하다가  $\alpha$  가  $4\pi/8[\text{rad}]$  보다 커지면 積算電力計의 誤差는 急激하게 增加하다가  $\alpha$  가  $6\pi/8[\text{rad}]$  을 지나면 誤差는 急激히 減少하게 된다(輕負荷時의 回轉部摩擦補償이 過大하기 때문임).

(2) TRIAC에 依해서 制御된 電力量을 計測할 때 그 中에 包含되어 있는 高調波成分 때문에 생기는 積算電力計의 誤差는 (-)로서 그 絶對값은 位相制御角  $\alpha$  가 를수록 커지는데  $\alpha$  가  $\pi/2[\text{rad}]$  에 이르기까지는 誤差는 徐徐히 커지다가  $\alpha$  가  $\pi/2[\text{rad}]$  을 넘으면 誤差는 急激히 커져서  $\alpha = 7\pi/8[\text{rad}]$  時에 誤差는 約 -12[%]로 된다.

(3) 積算電力計의 誤差는  $\pm 3[\%]$  까지는 許容되고 있으므로 上記한 積算電力計를 使用해서 制御電力量을 計測할 때 位相制御角  $\alpha$  가  $5\pi/8[\text{rad}]$  以下일 때에는 積算電力計의 誤差는 (+) 또는 (-)로서 그 絶對값은 3[%] 以下로 되어 別問題가 없으나  $\alpha$  가  $5\pi/8[\text{rad}]$  보다 커질 때에는 그 誤差가 突자로 誤差의 許容範圍를 超過하게 되므로 問題가 될 수 있다.

(4) 階若에 正弦波電力量計測時의 誤差가 -2[%] 程度되는 積算電力計를 使用했다면 TRIAC에 依해서 制御된 電力量을 計測할 때에 있어서는  $\alpha$  가  $\pi/2[\text{rad}]$  도 되기前에 積算電力計의 誤差는 그 許容範圍를 超過하게 됨을 알 수 있다.

(5) 式 22에 依해서 積算電力計의 周波數特性을 생각할 때 高調波와 같이 周波數가 大端히 낮 때에는 큰 誤差가 생길 것이다 第2表에서 알 수 있는 바와 같이 高調波의 次數가 높아질수록 高調波電力量의 包含量이 작아지므로 全電力量計測時의 負誤差는 그다지 크게 되지는 않고 TRIAC의 位相制御角  $\alpha$  가  $7\pi/8[\text{rad}]$  일 때 誤差는 -12[%] 程度로 된다는 것을 알 수 있다.

## 參 考 文 獻

- 1) 電氣學會：交流理論，電氣學會，東京，1971. 3, pp. 220—234.
- 2) 富人庄太：サイリスタ應用ハンドブック，日刊工業新聞社，東京，1975. 8, pp. 583—593.
- 3) 内藤外一郎：電氣計測，朝倉書店，東京，1969. 3, pp. 172—178.
- 4) 鹿田外一郎：積算電力計，電氣書院，東京，1962. 8, pp. 3—17, 30—33.

本論文은 1980年度 文教部 學術研究助成費에 의하여 研究되었음.

